

## فرآیندهای نوین در مهندسی مواد

ma.iaumajlesi.ac.ir

تأثیر دما و pH بر شکل، اندازه و رنگ نانو صفحه‌های هماتیت سنتز شده به روش هیدرотرمال

### مقاله پژوهشی

نجمه متولی‌زاده اردکانی<sup>۱</sup>، سعید باغشاهی<sup>۲\*</sup>، صبا پی‌رم<sup>۱</sup>، امیرتیمور علی‌آبادی‌زاده<sup>۱</sup>

۱- گروه مهندسی مواد، دانشکده فنی و مهندسی، دانشگاه آزاد اسلامی، واحد علوم و تحقیقات، تهران، ایران.

۲- گروه مهندسی مواد، دانشکده فنی و مهندسی، دانشگاه بین‌المللی امام خمینی (ره)، قزوین، ایران.

baghshahi@eng.ikiu.ac.ir\*

### چکیده

با کنترل شرایط سنتز می‌توان به ذرات هماتیت با شکل‌های هندسی مختلف و در نتیجه خواص نوری و مغناطیسی متفاوتی دست یافت. در این پژوهش، از روش هیدرотرمال به دلیل پتانسیل بالای آن برای سنتز طیف گسترهای از ذرات با شکل‌های و اندازه‌های متفاوت، برای سنتز ذرات هماتیت با به کارگیری آنم (III) کلرید همکراهدرات، اتانول، سدیم استات و پلی‌اتیلن گلیکول استفاده شد. در این تحقیق بدون استفاده از حلال‌های آلی رایج و برخلاف اکثر تحقیقات پیشین که بر روی خواص مغناطیسی هماتیت متمرکز بوده، به کنترل شکل ذرات هماتیت و سنتز این ذرات به شکل نانو‌صفحه جهت افزایش خواص رنگی این ماده در نور مرئی پرداخته شده است. نمونه‌ها در دمای ۱۸۰ و ۲۵۰ درجه سانتی‌گراد و pH برابر ۵، ۷ و ۱۱ سنتز شدند. ترکیب فازی، شکل ذرات و خواص نوری ذرات حاصل با استفاده از روش‌های XRD، SEM، FTIR و DRS مورد بررسی قرار گرفت. ذرات هماتیت سنتز شده در دمای ۱۸۰ درجه سانتی‌گراد در pH برابر ۵، ۷ و ۱۱ به ترتیب دارای میانگین ابعاد ذرات ۹۵/۴۱، ۲۹۳/۴۷ و ۸۳/۹۵ نانومتر و در دمای ۲۵۰ درجه سانتی‌گراد به ترتیب ۷۳/۷۹، ۵۸/۲۹ و ۵۹/۲۳ نانومتر بودند. نتایج رنگ‌سنجی نشان داد رنگدانه‌های حاصل در دمای ۱۸۰ درجه سانتی‌گراد در pH برابر ۵ دارای پارامترهای CIELAB برابر  $L^*=39.6676$ ,  $a^*=48.4600$ ,  $b^*=20.3137$  و در pH برابر ۷،  $L^*=42.1171$ ,  $a^*=14.5439$ ,  $b^*=7.6129$  و در pH برابر ۱۱،  $L^*=39.6676$ ,  $a^*=4.4724$ ,  $b^*=0.7400$  و در pH برابر ۲۵۰ درجه سانتی‌گراد در pH برابر ۵ دارای پارامترهای CIELAB برابر  $L^*=41.3137$ ,  $a^*=9.1291$ ,  $b^*=5.3257$  و در pH برابر ۷،  $L^*=41.7842$ ,  $a^*=12.5533$ ,  $b^*=7.0430$  و در pH برابر ۱۱،  $L^*=40.3097$ ,  $a^*=9.0858$ ,  $b^*=4.6172$  بودند. با افزایش pH، رنگ پودر هماتیت حاصل به دلیل کوچک‌تر شدن اندازه ذرات و در نتیجه جذب نور بیشتر شد. با استفاده از آنالیز XRD و رابطه شر مخصوص شد، pH فرآیند بر اندازه بولوک‌های سنتز شده قابل توجهی نداشت و میانگین اندازه بولوک‌ها در هر دو دمای سنتز ۱۸۰ و ۲۵۰ درجه سانتی‌گراد برابر ۲۷/۸ نانومتر بود، اما تصاویر SEM مشخص کرد با افزایش pH تمایل به صفحه‌ای شدن ذرات هماتیت کاهش و یا کاهش pH تمایل به صفحه‌ای شدن ذرات افزایش یافت. افزایش دما تعاملی به پولکی شدن را کاهش داد و باعث کروی تر شدن شکل ذرات هماتیت شد و با کاهش اندازه ذرات، جذب نور بیشتر شده و رنگ ذرات تیره‌تر شد.

### اطلاعات مقاله

دریافت: ۱۴۰۰/۰۵/۱۰

پذیرش: ۱۴۰۱/۰۳/۰۷

### کلید واژگان:

هماتیت

رنگدانه قرمز

سنتز

هیدرотرمال

رنگ سنجی

### The Effects of Temperature and pH on the Shape, Size, and Color of the Synthesized Nano-Plate Shape Hematite by Hydrothermal Method

Najmeh Motevalizadeh Ardakani<sup>1</sup>, Saeid Baghshahi<sup>2\*</sup>, Saba Payrazm<sup>1</sup>, Amirtaymour Aliabadizadeh<sup>1</sup>

1- Department of Materials Engineering, Science and Research Branch, Islamic Azad University, Tehran, Iran.

2- Department of Materials Science and Engineering, Faculty of Engineering, Imam Khomeini International University, Qazvin, Iran.

\* baghshahi@eng.ikiu.ac.ir

### Article Information

Original Research Paper

Dor:

[20.1001.1.24233226.1401.16.4.6.9](#)

### Keywords:

Hematite  
Red Pigment  
Synthesis  
Hydrothermal  
Colorimetric

### Abstract

By controlling the synthesis conditions, hematite particles with different geometric shapes and different optical and magnetic properties can be obtained. In this study, due to its high potential for the synthesis of a wide range of particles with different shapes and sizes, the hydrothermal method was used for the synthesis of hematite. Iron (III) hexahydrate, ethanol, sodium acetate, and polyethylene glycol were used as raw materials. In this study, without using common organic solvents and in contrast with most previous researches that focused on the magnetic properties of hematite, the shape of synthesized hematite particles in the form of nano-plates was controlled and the color properties of them were improved. Samples were synthesized at 180 and 250 °C and pHs 5, 7, and 11. The phase composition, particle shape, and optical properties of the particles were investigated by XRD, SEM, FTIR, and DRS methods. Hematite particles synthesized at the temperature of 180 °C at pHs 5, 7, and 11 had particle dimensions 293.47, 95.41, and 83.95 nm and at the temperature of 250 °C at pHs 5, 7, and 11 had particle dimensions 88.29, 73.79, and 59.33 nm respectively. The colorimetric results showed that the pigments synthesized at 180 °C at pHs 5, 7, and 11 had the CIEL<sup>a</sup><sup>b</sup><sup>L</sup> parameters  $L^*=48.4600$ ,  $a^*=20.3000$ ,  $b^*=13.5600$ ,  $L^*=42.1171$ ,  $a^*=14.5439$ ,  $b^*=14.5439$ , and  $L^*=39.6676$ ,  $a^*=7.6129$ , and  $b^*=4.4724$ , respectively and the ones synthesized at 250 °C at pHs 5, 7, and 11 had the CIEL<sup>a</sup><sup>b</sup><sup>L</sup> parameters  $L^*=41.3137$ ,  $a^*=9.1291$ ,  $b^*=5.3257$ ,  $L^*=41.7842$ ,  $a^*=12.5533$ ,  $b^*=7.0430$ , and  $L^*=40.3097$ ,  $a^*=9.0858$ , and  $b^*=4.6172$ , respectively. As the pH increased, due to the smaller particle size and thus more light absorption, the color of the hematite powder darkened. By using XRD analysis and Scherer equation, it was found that the pH of the process did not affect the size of the unit cells, and the average size of the unit cells at both synthesis temperatures was 27.8 nm. However, the SEM images showed that by increasing pH the hematite particles became more spherical and smaller.

برای ارجاع به این مقاله از عبارت ذیل استفاده نمایید:

Please cite this article using:

Najmeh Motevalizadeh Ardakani, Saeid Baghshahi, Saba Payrazm, Amirtaymour Aliabadizadeh, The Effects of Temperature and pH on the Shape, Size, and Color of the Synthesized Nano-Plate Shape Hematite by Hydrothermal Method, New Process in Material Engineering, 2023, 16(4), 69-78.

## ۱- مقدمه

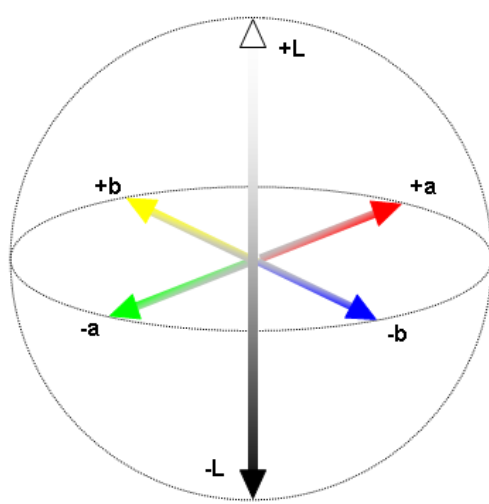
hematit ( $\alpha\text{-Fe}_2\text{O}_3$ ) در رنگ‌های قهوه‌ای، قرمز یافت می‌شود [۳-۱]. چگالی آن  $5/2$  گرم بر سانتی‌متر مکعب و سختی آن  $6/5$  در مقیاس موہس است. هماتیت، دارای خاصیت تأثیرپذیری مغناطیسی ضعیف است [۴]. این ماده دارای ذراتی با شکل‌های مختلف هندسی است که باعث می‌شود دارای طیف خواص نوری و مغناطیسی گسترده‌ای باشد [۴]. هماتیت دارای نوار ممنوعه در حدود  $1/2$  eV به عنوان نیمه‌رسانا دسته‌بندی می‌شود و به دلیل پایداری بالا در محیط، غیر سمی بودن، مقاومت در برابر خوردگی و پایداری حرارتی، دارای کاربردهای نوری، مغناطیسی و الکتروشیمیایی است [۵-۱۴].

شکل (۱): فضای رنگی  $L^*\text{CIEL}^*a^*b^*$ . مقدار روشنایی مابین  $0^\circ$  (سیاه) تا  $100^\circ$  (سفید)،  $a$  (ناحیه رنگ مربوط به مؤلفه رنگ سبز تا قرمز) و  $b$  (ناحیه رنگ مربوط به مؤلفه رنگ آبی تا زرد) [۱۸-۱۹]

با توجه به شکل ۱، در این مدل میزان روشنایی با  $L^*$  مشخص می‌شود که از صفر معادل تاریک و سیاه تا  $100^\circ$  که نشان‌دهنده پراکندگی نور کامل یا سفید است تغییر می‌کند. میزان رنگ از سبز به قرمز با  $a$  در دامنه  $-120^\circ$  تا  $+120^\circ$  و میزان رنگ از آبی به زرد با  $b$  در دامنه  $-120^\circ$  تا  $+120^\circ$  مشخص می‌شود [۱۸-۱۹].

سازوکار رشد ذرات هماتیت به روش هیدروترمال توسط سوگیموتو و همکاران [۱۵] گزارش شده است. کرکر و همکاران [۲۰] و هاند و همکاران [۲۱] برای بررسی ارتباط رنگ به اندازه ذرات و شکل (مکعبی، کروی و سوزنی) از کلئیدهای هماتیت استفاده کردند. کاتسوکی و کمارتنی [۱۶، ۲۲] این تلاش را در مقیاس نانو با مقایسه رنگ‌های ذرات هماتیت تولید شده از سنتز ماکروویو گسترش دادند. بر طبق جذب نوری فیلم‌های نازک هماتیت توسط ماروساک و همکاران [۲۳]  $\alpha\text{-Fe}_2\text{O}_3$  به شدت در سراسر طیف قابل مشاهده جذب می‌شود. تأثیر اندازه ذرات و شکل بر روی جذب نوری و رفتار تفرق رنگدانه هماتیت از موارد مهم است.

سنتز هیدروترمال یک روش مؤثر برای تغییر اندازه و شکل ذرات هماتیت در چند دهه اخیر بوده [۳، ۱۵-۱۶]. برای مثال اوزاکی و همکاران ذرات هماتیت صفحه‌ای شکل را



کاربردهای مختلف نیاز به خواص و در نتیجه شکل‌های مختلفی از ذرات هماتیت دارد. برای مثال نانومیله‌ها در حس‌گرها و شکل مخروطی برای کاربرد در کاتالیست‌ها استفاده شده است. همچنین هماتیت به عنوان رنگدانه سرامیکی مورد استفاده قرار گرفته است [۲]. ابعاد ذرات بر خواص نمونه تأثیرگذار است. روش‌های مختلفی مانند سلسله، هیدروترمال و همروسوبی برای سنتز انواع ذرات هماتیت استفاده شده است [۱۶-۱۷].

فضای رنگی CIELab بر اساس پیشنهاد کمیته بین‌المللی استاندارد در سال ۱۹۳۱ تعریف شد [۱۸-۱۹]. این فضای رنگی در سال ۱۹۷۶ مورد بازبینی قرار گرفت و به مدل CIEL $^*a^*b^*$  معروف شد. این مدل، مدل رنگی مستقل و بدون وابستگی به دستگاهی خاص مثل صفحه‌نمایش، چاپگر، اسکنر و پرده نمایش است و مدلی جامع را تعریف می‌کند که طیف رنگی وسیعی را شامل می‌شود. شکل ۱، مدل CIEL $^*a^*b^*$  نمایش می‌دهد.

برای ۱۲ ساعت در دمای ۱۸۰ و ۲۵۰ درجه سانتی گراد قرار گرفت. سپس، اتوکلاو در محیط تا دمای اتاق سرد شد. پودر جامد هماتیت توسط گریز از مرکز جدا شد و توسط آب مقطر و اتانول شسته و کاملاً خشک شد.

### ۳- مشخصه‌هایی

#### ۱- بورسی فازی

برای اطمینان از تشکیل فاز هماتیت از پراش پرتوایکس استفاده شد. آزمون XRD (Philips, Xpert MPD) با ۰۲ از ۱۰ تا ۸۰ درجه با گام ۰/۰۱ درجه صورت گرفت.

#### ۲- بورسی دیزساختاری

به منظور بررسی شکل ذرات هماتیت تشکیل شده از میکروسکوپ الکترونی رویشی (LEO, VP1455) استفاده شد. برای ازین بردن اگلومرهای ذرات برای ۱۰ دقیقه تحت حمام فرماصوت قرار گرفتند.

#### ۳- طیف‌سنجی بازتابشی نفوذی برای تعیین رنگ و رفتار نوری

مختصات رنگی نمونه پودر با دستگاه اسپکتروفوتومتر (Xrite SP-64) اندازه‌گیری شد. فاکتور بازتابش طیفی نمونه پودر در محدوده طول موج ۱۹۰ تا ۱۱۰۰ نانومتر با دستگاه اسپکتروفوتومتر (SPECORD 250) اندازه‌گیری شد. برای رنگ‌سنجی در سیستم Lab، از اسپکتروفوتومتر (Xrite Sp-) (64) استفاده شد و برای رنگ‌سنجی نمونه‌ها از نرم‌افزار CIEL\*a\*b\* "Munsell Conversion" استفاده شد. مقادیر تحت منع نوری D65 و آشکارساز استاندارد با زاویه ۱۰ درجه اندازه‌گیری شد.

#### ۴- طیف‌سنجی مادون قرمز

برای بررسی پیوندهای مربوط به تشکیل هماتیت در نمونه‌ها از دستگاه FTIR (Thermo, AVATAR) در محدوده عدد موج ۴۰۰ تا ۸۰۰ بر سانتی‌متر استفاده شد. برای بررسی دقیق‌تر، مقدار مشخصی از پودر هر نمونه با قرص استاندارد جنس پتاسیم بر ماید مخلوط شده است.

توسط Ethylenediaminetetraacetate (EDTA) و اتوکلاو حاوی پیش‌ماده هیدروکسید فریک تهیه کردند. یو و همکارانش [۲۴] با استفاده از غلظت‌های متغیر فسفات بر روی مکانیزم رشد ذرات هماتیت مطالعه کردند. ونگ و همکارانش [۱۴] ذرات هماتیت با شکل‌های مختلف را با استفاده از روش هیدروترمال از پیش‌ماده  $\text{Fe(OH)}_{x\text{Oy}}$  سنتز کردند. چن و همکارانش [۱۷] با روش الكل-حرارتی نانوصفحات هماتیت را سنتز کرده و نشان دادند که این رشد دو بعدی روی صفحات (۰۰۰۱) بوده است. آن‌ها با مطالعه طیف‌سنجی انعکاسی نفوذی نشان دادند که با تغییر شکل از نانوذره به نانوصفحه، تمایل به انعکاس نور افزایش یافته و نانوذرات قابلیت بیشتری برای جذب رنگ‌های مرئی دارند.

### ۲- فعالیت‌های تجربی

#### ۱- مواد اولیه

در این پژوهش از پیش‌ماده آهن (III) کلرید هگزاہیدرات، اتانول، سدیم استات و پلی‌اتیلن گلیکول ۴۰۰ استفاده شد. نمونه‌های هماتیت در دو دمای ۱۸۰ و ۲۵۰ درجه سانتی گراد و در سه pH ۵، ۷ و ۱۱ سنتز شدند.

#### ۲- تهیه محلول

برای سنتز نانوذرات هماتیت از روش هیدروترمال استفاده شد. ابتدا ۰/۵ گرم از آهن (III) کلرید هگزاہیدرات با ۱/۳۵ گرم از سدیم استات در ۱۴/۵ میلی‌لیتر پلی‌اتیلن گلیکول ۴۰۰ حل شد. محلول برای ۳۰ دقیقه بر روی هم‌زن قرار گرفت تا قرمز شود. پس از اختلاط مواد اولیه با نسبت pH = ۷، سه نمونه در سه pH اسیدی ۵، pH = ۷، pH = ۱۱ تهیه شد. برای تنظیم pH از آمونیاک و استیک اسید استفاده شد و برای همگن شدن کامل، محلول به مدت ۲ ساعت روی هم‌زن قرار گرفت.

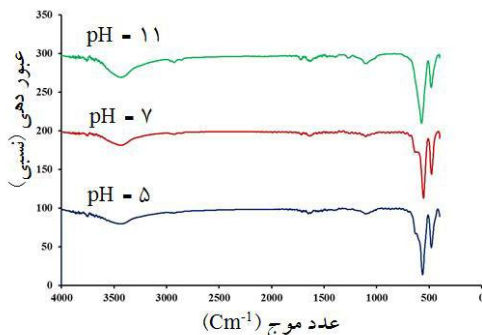
#### ۳- عملیات هیدروترمال

محلول هماتیت به یک اتوکلاو دربسته از جنس فولاد و پوشش داخلی تفلون با ظرفیت ۲۰ میلی‌لیتر انتقال داده شد و

#### ۴-۲- بررسی تأثیر pH و دمای هیدروترمال بر

##### پیوندهای صفحات هماتیت

آنالیز FTIR نمونه‌های سنتز شده در سه pH ۵، ۷ و ۱۱ در دمای ۲۵۰ سانتی‌گراد در شکل ۳ نشان داده شده است.



شکل (۳): آنالیز FTIR هماتیت سنتز شده در دمای ۲۵۰ درجه سانتی‌گراد در سه pH ۵، ۷ و ۱۱.

با توجه به شکل ۳، پیک‌های ضعیف مشخص شده در محدوده عدد موج ۱۶۲۹ و ۱۴۲۰ بر سانتی‌متر مربوط به لرزش نامتقارن از گروه‌های کربوکسیلات است. پیک‌های مشخص شده در محدوده عدد موج ۲۸۰۰ تا ۳۰۰۰ بر سانتی‌متر به عنوان باند لرزشی C-H نسبت داده شد. پیک دیگر به دست آمده در محدوده عدد موج ۳۴۱۳ بر سانتی‌متر (مربوط به جذب رطوبت) پیوند O-H را نشان می‌دهد که در درجه اول ناشی از هیدراتاسیون سطح و جذب آب سطحی است. جذب‌های گسترده و قوی در محدوده ۴۰۰ تا ۸۰۰ بر سانتی‌متر از لرزش‌های ذاتی Fe=O است [۱۷]. با توجه به این که تمامی پارامترهای اعمالی حین سنتز نمونه‌ها یکسان بوده و فقط pH متغیر بوده است، عملاً گروه‌های عاملی ایجاد شده در نمونه‌ها تفاوت اساسی نداشتند و این مورد در شکل ۳ مشخص است.

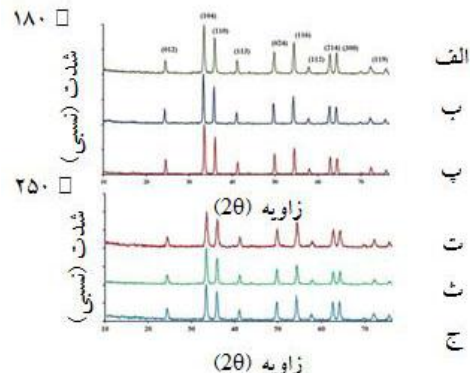
#### ۴-۳- بررسی‌های ریزساختاری تأثیر pH واکنش و دمای هیدروترمال بر سنتز نانوصفحات هماتیت

شکل ۴ ذرات Fe<sub>2</sub>O<sub>3</sub> در دماهای سنتز ۱۸۰ سانتی‌گراد به مدت ۱۲ ساعت را نشان می‌دهد.

#### ۴-۴- نتایج و بحث

##### ۴-۱- بررسی تأثیر pH واکنش و دمای هیدروترمال بر فازهای سنتز شده

الگوهای آنالیز XRD هماتیت سنتز شده در مقادیر pH برابر ۵، ۷ و ۱۱ و دماهای عملیاتی ۱۸۰ و ۲۵۰ سانتی‌گراد در شکل ۴ نشان داده است.



شکل ۵ ذرات  $\text{Fe}_2\text{O}_3$  در دماهای سنتز ۲۵۰ سانتی‌گراد به مدت ۱۲ ساعت را نشان می‌دهد.

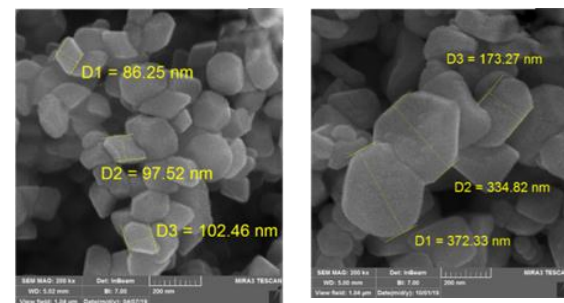
همان‌طور که مشاهده می‌شود در درجه حرارت ۱۸۰ درجه سانتی‌گراد ذرات به صورت صفحه‌ای شکل سنتز شده‌اند. صفحه‌ای شکل بودن ذرات میزان بازتابش نور را افزایش داده و باعث روشن‌تر شدن رنگ می‌شود. در درجه حرارت ۲۵۰ درجه سانتی‌گراد ذرات به نسبت نمونه سنتز شده در دمای ۱۸۰ درجه سانتی‌گراد، کوچک‌تر و کروی‌تر هستند. در نتیجه جذب نور بیش‌تری داشته و تیره‌تر هستند. در هر دو دمای سنتز با کاهش pH فرآیند، تمایل به صفحه‌ای شدن در ذرات افزایش یافته است. همچنین قطر ذرات هماتیت تشکیل شده با کاهش pH فرآیند افزایش یافته است [۱۶، ۲۰-۲۲].

در جدول ۲، تأثیر pH واکنش و دمای هیدروترمال بر اندازه ذرات هماتیت بررسی شده است.

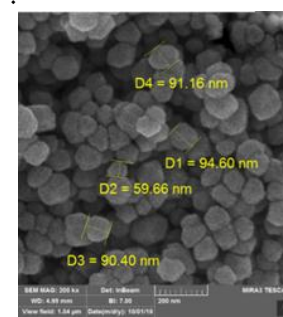
جدول (۲): تأثیر pH واکنش و دمای هیدروترمال بر اندازه ذرات هماتیت

| اندازه ذرات (nm) | دما (°C) | pH |
|------------------|----------|----|
| ۲۹۳              | ۱۸۰      | ۵  |
| ۹۵               | ۱۸۰      | ۷  |
| ۸۴               | ۱۸۰      | ۱۱ |
| ۸۸               | ۲۵۰      | ۵  |
| ۷۴               | ۲۵۰      | ۷  |
| ۵۹               | ۲۵۰      | ۱۱ |

با توجه به جدول ۲ همان‌طور که در هر دو دمای واکنش هیدروترمال مشاهده می‌شود با افزایش pH واکنش، اندازه ذرات کاهش یافته است. آزاد شدن یون‌های حاصل از انحلال اسیدها و در واقع کاهش pH نقش مهمی در هسته‌زایی و جهت‌گیری ذرات هماتیت دارد. در حین فرآیند سنتز، در یک pH مشخص، محلول از کلوئید پایدار تبدیل به لخته می‌شود. این امر به دلیل وجود یون‌هایی از  $\text{OH}^-$  است که به صورت فیزیکی جذب سطحی ناحیه با بار مخالف ذرات هماتیت ( $\text{Fe}^{+}$ ) شده و با کاهش بار سطحی ذرات مانع از به هم پیوستن و تنبیه شده این ذرات در هم و تشکیل لخته می‌شوند. هرچه کلوئید پایدارتر باشد، فرصت بیشتری برای رشد جوانه‌های ایجاد شده هماتیت و

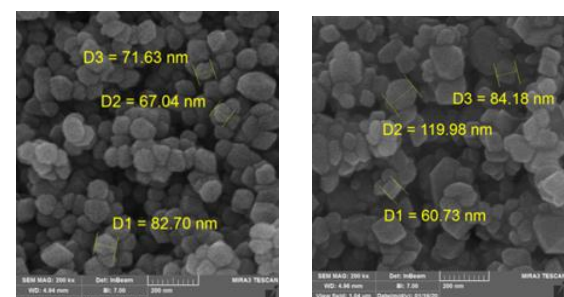


الف ب

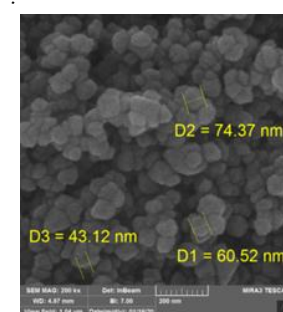


پ

شکل (۴): پودرهای سنتز شده در دمای ۱۸۰ سانتی‌گراد:  
الف) pH = ۵، ب) pH = ۷، پ) pH = ۱۱



الف ب



پ

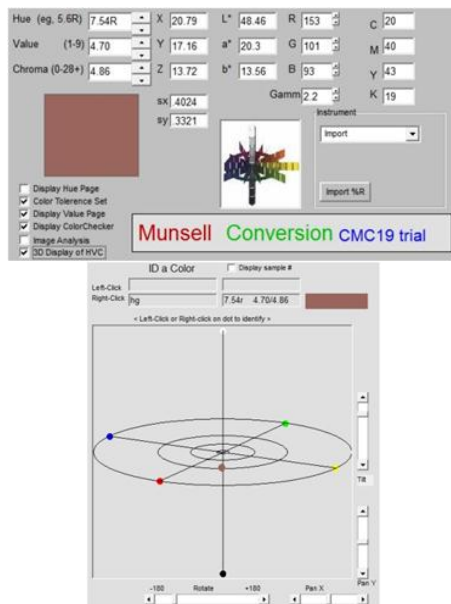
شکل (۵): پودرهای سنتز شده در دمای ۲۵۰ سانتی‌گراد:  
الف) pH = ۵، ب) pH = ۷، پ) pH = ۱۱

شکل ۷، رنگ پودرهای سنتز شده را نشان می‌دهد.



شکل (۷): هماتیت سنتز شده بعد از عملیات هیدرورتمال در دمای ۱۸۰ سانتی گراد: (الف)  $pH = 5$ ، (ب)  $pH = 7$  و (پ)  $pH = 11$

با توجه به شکل ۷، همان‌طور که مشاهده می‌شود، با افزایش pH، اندازه ذرات کاهش یافته و شکل آن‌ها کروی‌تر شده و جذب نور افزایش یافته و رنگدانه هماتیت حاصل تیره‌تر شده است [۲۰، ۲۲]. شکل ۸ نتایج رنگ‌سنجی را با استفاده از نرم‌افزار "Munsell conversion" نشان می‌دهد.



شکل (۸): محیط نرم‌افزار Munsell Conversion

در نتیجه افزایش کلی اندازه ذرات ایجاد می‌کند و بالعکس با لخته شدن و تهشیینی ذرات، تعداد جوانه‌ها بیشتر و قطر نهایی آن‌ها کوچک‌تر خواهد بود. در یک pH ثابت، افزایش دمای هیدرورتمال نیز باعث کاهش اندازه نانوذرات شده است، زیرا رشد ذرات دارای دمای بیشینه است و در بالای این دمای سرعت رشد کاهش می‌یابد [۲۱، ۲۶].

همان‌طور که نتایج پراش اشعه ایکس نیز نشان داد، افزایش دمای هیدرورتمال باعث کاهش شدت پیک‌های صفحات (۱۰۴) و (۱۱۰) شده است و کاهش جهت‌گیری ترجیحی می‌شود.

#### ۴-۴- بررسی نوری و رنگ‌سنجی

شکل ۶، تصویر محلول هماتیت را در سه pH مختلف نشان می‌دهد.

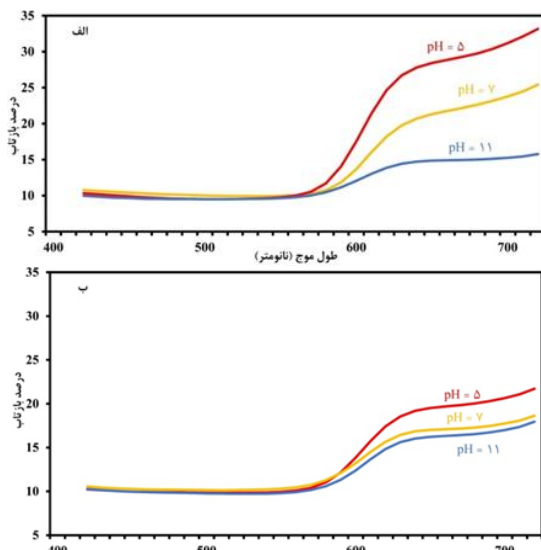


شکل (۶): محلول‌های هماتیت سنتز شده قبل از فرآیند هیدرورتمال:

(الف)  $pH = 5$ ، (ب)  $pH = 7$  و (پ)  $pH = 11$

با توجه به شکل ۶، همان‌طور که مشاهده می‌شود، با افزایش pH، اندازه ذرات کاهش یافته و شکل آن‌ها کروی‌تر شده و جذب نور افزایش یافته و رنگدانه هماتیت حاصل تیره‌تر شده است [۱۶، ۲۲].

شکل ۹ طیف بازتابی نمونه‌های هماتیت سنتز شده در دمای ۱۸۰ درجه سانتی‌گراد و  $pH = 5$ ،  $pH = 7$  و  $pH = 11$  را نشان می‌دهد.



شکل (۹): طیف بازتابی ذرات هماتیت سنتز شده در دما (الف)  $180^{\circ}\text{C}$  و (ب)  $250^{\circ}\text{C}$

با توجه به شکل ۹، ذرات هماتیت دارای بازتاب بسیار کمی در طول موج‌های ۴۰۰ تا ۵۷۰ نانومتر هستند. در هر دو دمای سنتز، افزایش سریعی در شیب نمودار در محدوده طول موج حدود ۵۷۰ نانومتر اتفاق افتاد که نشان‌دهنده قرمز رنگ بودن ذرات سنتز شده است. شیب منحنی وابسته به اندازه ذرات و شکل آنها است. در نمودار طیف‌سنجی بازتابی میزان بازتابش نور با کاهش pH افزایش یافته است که به دلیل افزایش میزان صفحه‌های شدن ذرات سنتز شده است [۱۴].

## ۵- نتیجه‌گیری

در این پژوهش تأثیر دما و pH بر شکل، اندازه و رنگ رنگدانه‌های هماتیت سنتز شده به روش هیدروترمال بررسی شد و بدون استفاده از حلال‌های آلی رایج و برخلاف اکثر تحقیقات پیشین که بر روی خواص مغناطیسی هماتیت متتمرکز بوده، به کنترل شکل ذرات هماتیت و سنتز این ذرات به شکل نانو صفحه جهت افزایش خواص رنگی این ماده در نور مرئی پرداخته شده است. روش هیدروترمال به

همان‌طور در شکل ۸ مشاهده می‌شود، با توجه به فاکتورهای مشخصه محل رنگ هماتیت سنتز شده در فضای مانسل مشخص شده است.

جدول ۳ لیست پارامترهای CIE  $L^*a^*b^*$  رنگدانه‌های هماتیت سنتز شده را نشان می‌دهد.

جدول (۳): پارامترهای CIEL\*a\*b\* رنگدانه‌های هماتیت سنتز شده

| b°      | a°      | L°      | دما (°C) | pH |
|---------|---------|---------|----------|----|
| ۱۳/۵۶۰۰ | ۲۰/۳۰۰۰ | ۴۸/۴۶۰۰ | ۱۸۰      | ۵  |
| ۱۴/۵۴۳۹ | ۱۴/۵۴۳۹ | ۴۲/۱۱۷۱ | ۱۸۰      | ۷  |
| ۴/۴۷۲۴  | ۷/۶۱۲۹  | ۳۹/۶۶۷۶ | ۱۸۰      | ۱۱ |
| ۰/۳۲۵۷  | ۹/۱۲۹۱  | ۴۱/۳۱۳۷ | ۲۵۰      | ۵  |
| ۷/۰۴۳۰  | ۱۲/۰۵۳۳ | ۴۱/۷۸۴۲ | ۲۵۰      | ۷  |
| ۴/۶۱۷۲  | ۹/۰۸۵۸  | ۴۰/۳۰۹۷ | ۲۵۰      | ۱۱ |

در فضای رنگی مانسل، شدت رنگ قرمز توسط پارامتر a کنترل می‌شود. مقدار بیشتر a در محدوده مثبت، میزان قرمزتر بودن رنگ را مشخص می‌کند. مختصات L روشی رنگدانه را نشان می‌دهد. مقادیر بیشتر L در ناحیه مثبت، نشان‌دهنده روشنایی بیشتر رنگ است.

با توجه به مقادیر جدول ۳، شبیه‌سازی رنگی توسط نرم‌افزار مانسل انجام شد و نتایج حاصل در جدول ۴ نشان داده شده است.

جدول (۴): شبیه‌سازی رنگی توسط نرم‌افزار مانسل

| pH = 11 | pH = 7 | pH = 5 | دما (°C) |
|---------|--------|--------|----------|
|         |        |        | ۱۸۰      |
|         |        |        | ۲۵۰      |

با توجه به جدول ۴، مشاهده می‌شود که با افزایش pH فرآیند سنتز، رنگدانه حاصل تیره‌تر شده است. همان‌طور که مشاهده می‌شود، با افزایش pH، اندازه ذرات کاهش یافته و شکل آنها کروی‌تر شده و جذب نور افزایش یافته و رنگدانه هماتیت حاصل تیره‌تر شده است.

occurrences, uses", VCH Verlagsgesellschaft GMBH, Weinheim, Germany, 1996.

[3] M. Ozaki, N. Ookoshi, E. Matijević, "Preparation and magnetic properties of uniform hematite platelets", *J. Colloid Interface Sc*, 137 [2], 1990.

[4] M. Tadic, L. Kopanja, M. Panjan, S. Kralj, J. Nikodinovic-Runic & Z. Stojanovic "Synthesis of core-shell hematite ( $\alpha$ -Fe<sub>2</sub>O<sub>3</sub>) nano plates: Quantitative analysis of the particle structure and shape, high coercivity and low cytotoxicity", *Appl. Surf. Sci*, vol. 403, no. 1, 2017.

[5] R. M. Cornell, U. Schwertmann, "The iron oxides: structure, properties, reactions, occurrences and uses", John Wiley & Sons, 2003.

[6] A. Kay, I. Cesar & M. Grätzel, "New benchmark for water photooxidation by nanostructured  $\alpha$ -Fe<sub>2</sub>O<sub>3</sub> films", *J. Am. Ceram. Soc*, vol. 128, no. 49, 2006.

[7] Q. Liu, Zh. Cui, Zh. Ma, Sh. Bian, W. Song & L. Wan, "Morphology control of Fe<sub>2</sub>O<sub>3</sub> nanocrystals and their application in catalysis", *Nanotechnology*, vol. 18, no. 38, 2007.

[8] Y. Zheng, Y. Cheng, Y. Wang, F. Bao, L. Zhou, X. Wei, Y. Zhang & Q. Zhengl., "Quasicubic  $\alpha$ -Fe<sub>2</sub>O<sub>3</sub> nanoparticles with excellent catalytic performance", *J. Phys. Chem. B*, vol. 110, no. 7, 2006.

[9] X. Hu, J. C. Yu, J. Gong, Q. Li & G. Li, " $\alpha$ -Fe<sub>2</sub>O<sub>3</sub> nanorings prepared by a microwave-assisted hydrothermal process and their sensing properties", *Adv. Mater*, vol. 17, no. 19, 2007.

[10] M. V. Reddy, T. Yu, Ch. Sow, Z. Xiang Shen, Ch. Teck Lim, G.V. Subba Rao & B. V .R. Chowdari " $\alpha$ -Fe<sub>2</sub>O<sub>3</sub> nanoflakes as an anode material for Li-ion batteries", *Adv. Func. Mater*, vol. 17, no. 15, 2007.

[11] Z. Zheng, L. Liao, B. Yan, J.X. Zhang, H. Gong, Z. Shen & T. Yu, "Enhanced field emission from argon plasma-treated ultra-sharp  $\alpha$ -Fe<sub>2</sub>O<sub>3</sub> nanoflakes", *Nanoscale Res. lett*, 4 [9], 2009.

[12] Sh. Cao, Y. Zhu, M. Ma & L. Li,"Hierarchically nanostructured  $\alpha$ -Fe<sub>2</sub>O<sub>3</sub> hollow spheres: preparation, growth mechanism, photocatalytic property, and application in water treatment", *J. Phys. Chem. C*, vol. 112, no. 16, 2008.

دلیل امکان کنترل پارامترها و پتانسیل بالا در سنتز ذرات با شکل‌های مختلف برای کاربردهای متفاوت به کار گرفته شد. به دلیل قابلیت پوشانندگی بهتر و همچنین میزان بازتاب بالاتر، ذرات هماتیت به صورت صفحه‌ای شکل با استفاده از پیش ماده اصلی آهن (III) کلرید هگزاہیدرات با ساختار رومبودرال Fe<sub>2</sub>O<sub>3</sub> سنتز شد. میزان کم بازتاب طول موج‌های ۴۰۰ تا ۵۷۰ نانومتر و افزایش ناگهانی شیب نمودار بازتاب در طول موج حدود ۵۷۰ نانومتر نشان‌دهنده طیف رنگی قرمز هماتیت سنتز شده است. نتایج نشان داد، با افزایش دما و در نتیجه آن افزایش فشار در اتوکلاو، ذرات سنتز شده ریزدانه‌تر و کروی‌تر شدند و در نتیجه، میزان CIE بازتاب نور در آن‌ها کاهش یافت. در سیستم رنگی CIE مقادیر پارامتر L\*, a\*, b\* تیره‌تر شد. در تحقیقی دیگر در این زمینه، اپوچوویک و همکارانش نیز به نتایج مشابهی دست یافتد و نشان دادند که با افزایش دما سنتز رنگ رنگدانه هماتیت تیره‌تر شد [۲۷]. همچنین با کاهش pH فرآیند سنتز، تمایل ذرات هماتیت به رشد به شکل صفحه‌ای افزایش یافت که به همین دلیل میزان بازتاب نور در ذرات سنتز شده در محیط با pH پایین‌تر، افزایش یافت؛ به عبارت دیگر با کاهش pH امکان تولید رنگدانه قرمز هماتیت با طیف روشن‌تر فراهم شد. لدین و همکارانش نیز دریافتند که افزایش pH فرآیند سنتز موجب کاهش قطر ذرات سنتز شده می‌شود [۲۶]. در این تحقیق مشخص شد که کاهش اندازه ذرات هماتیت و کروی‌تر شدن شکل این ذرات باعث تیره‌تر شدن رنگ رنگدانه حاصل می‌شود. تصاویر SEM نشان داد که میانگین ابعاد ذرات سنتز شده کمتر از ۱۰۰ نانومتر است و به همین دلیل، رنگدانه سنتز شده در این پژوهش در مقیاس نانو ذرات طبقه‌بندی می‌شود.

## ۶- مراجع

- [1] K. Shaw, "Ceramic colours and pottery decoration", Maclaren And Sons, London, 1968.
- [2] R. Cornell & U. Schwertmann, "The iron oxides: Structures, properties, reactions,

- [21] N. P. Ryde & E. Matijević, "Color effects of uniform colloidal particles of different morphologies packed into films", *Appl. Opt.*, vol. 33, no. 31, 1994.
- [22] H. Katsuki & S. Komarneni, "Role of  $\alpha$ -Fe<sub>2</sub>O<sub>3</sub> Morphology on the Color of Red Pigment for Porcelain", *J. Am. Ceram. Soc.*, vol. 86, no. 1, 2003.
- [23] L. A. Marusak, R. Messier & W. B. White, "Optical absorption spectrum of hematite,  $\alpha$ -Fe<sub>2</sub>O<sub>3</sub> near IR to UV", *J. Phys. Chem. Solids*, vol. 41, no. 9, 1980.
- [24] X. Hu & J. C. Yu, "Continuous Aspect-Ratio Tuning and Fine Shape Control of Monodisperse  $\alpha$ -Fe<sub>2</sub>O<sub>3</sub> Nanocrystals by a Programmed Microwave-Hydrothermal Method", *Adv. Func. Mater.*, vol. 18, no. 6, 2008.
- [25] M. Beyhaghi, A. Kiani-Rashid, M. Kashefi, J. Vahdati Khaki & S. Jonsson, "Investigation of in-situ synthesis and consolidation of NiAl-Al<sub>2</sub>O<sub>3</sub> composites by reactive spark plasma sintering process using mechanically activated reaction", *International Journal of Material Science Innovations (IJMSI)*, vol. 2, no. 4, pp:100-116, 2014.
- [26] A. Ledin, S. Karlsson & B. Allard, "Effects of pH, ionic strength and a fulvic acid on size distribution and surface charge of colloidal quartz and hematite", *Applied Geochemistry*, vol. 8, pp. 409-414, 1993.
- [27] O. Opuchovic & A. Kareiva, "Historical hematite pigment: Synthesis by aqueous sol-gel method, characterization and application for the colouration of ceramic glazes", *Ceramics international*, vol. 4, pp. 4504-4513, 2015.
- [13] Zh. Zheng, Y. Chen, Z. Shen & J. Ma, Ch. Sow, W. Huang & T. Yu, "Ultra-sharp  $\alpha$ -Fe<sub>2</sub>O<sub>3</sub> nanoflakes: growth mechanism and field-emission", *Appl. Phys. A*, vol. 89, no. 1, 2007.
- [14] J. Wang, W. B. White & J. H. Adair, "Optical properties of hydrothermally synthesized hematite particulate pigments", *J. Am. Ceram. Soc.*, vol. 88, no. 12, 2005.
- [15] T. Sugimoto, Sh. Waki, Hiroyuki Itoh & Atsushi Muramatsu, "Preparation of monodisperse platelet-type hematite particles from a highly condensed  $\beta$ -FeOOH suspension", *Colloids Surf. A: Physicochem. Eng. Asp.*, vol. 109, no. 20, 1996.
- [16] H. Katsuki & S. Komarneni, "Microwave-Hydrothermal Synthesis of Monodispersed Nanophase  $\alpha$ -Fe<sub>2</sub>O<sub>3</sub>", *J. Am. Ceram. Soc.*, vol. 84, no. 10, 2001.
- [17] L. Chen, X. Yang, J. Chen, J. Liu, H. Wu, H. Zhan, Ch. Liang & M. Wu, "Continuous shape-and spectroscopy-tuning of hematite nanocrystals", *Inorg. Chem.*, vol. 49, no. 18, 2010.
- [18] Q. Wang, Q. Chang, Y. Wang, X. Wang & J. Zhou, "Ultrafine CoAl<sub>2</sub>O<sub>4</sub> ceramic pigment prepared by Pechini-sacrificial agent method", *Mater. Lett.*, vol. 173, 2016.
- [19] B. Ch. K. Ly, E. B. Dyer, J. L. Feig, A. L. Chien & S. Del Bino, "Research Techniques Made Simple: Cutaneous Colorimetry: A Reliable Technique for Objective Skin Color Measurement", *J. Invest. Derm.*, vol. 140, 2020.
- [20] M. Kerker, P. Scheiner, D. Cooke & J. Kratochvil, "Absorption index and color of colloidal hematite", *J. Colloid Interface Sci.*, vol. 71, no. 1, 1979.